

폴리아크릴酸 膜의 逆滲透 特性

卓 泰 文

서울大 農大 養系學科

(1983년 7월 26일 접수, 1983년 10월 15일 심사완료)

요약 : 폴리아크릴산(PAA)의 逆滲透特性을 조사하기 위하여, 膜지지대로서 셀루로오스아세테이트膜 사이에 PAA를 固定시켜 實驗을 하였다. 2價同이온은 1價同이온 보다 배제율이 더 높았으며, Donnan排除說에 定性的으로一致하는 경향을 보였다. 供給液濃度의 감소에 따라 1價對이온鹽의 배제율은 크게 증가한 반面, 2價對이온鹽인 경우는 급격한 變化를 보여주지 않았다. PAA膜에 의한 盐에 대한 排除率은 壓力, 供給液濃度, 이온價 등에 依存한다는 것을 알았다.

1. 서 론

逆滲透膜에 이용되고 있는 膜은 크게 나누어 荷電膜과 非荷電膜으로 分類할 수가 있으며, 그의 溶質分離 메카니즘은 서로 다르다. 지금까지의 報告에 의하면, 非荷電膜에 의한 分離機構에 관해서는 많은 說이 있지만^{1~6}, 荷電膜인 경우는一般的으로 荷電에 의한 排除, 즉 Donnan 이온 배제기구에 의한 說로一致되고 있다^{6~9}.

이러한 荷電膜의 하나로서 다이나믹膜(dynamically formed membrane)은, 供給液에 高分子電解質 또는 水和金屬鹽을 첨가하여 加壓함으로 多孔質上에 電荷를 固定시키는 方法이다. 이것은 膜의 形成 및 除去가 容易하며 透過量이 가장 우수한 特徵을 지니고 있으며, 盐의 排除도 Donnan 이온 排除機構에 의해 說明되고 있다^{9~11}.

그러나, 다이나믹膜을 形成할 때 첨가하는 물질은 항상 溶液中에 노출되기 때문에 多孔質 表面에 固定되어 있는 荷電量 및 密度를正確히 評價하기가 어려워 物理化學的인 研究는 거의 되어 있지 않았다.

따라서 本 研究에서는 폴리아크릴酸(PAA)膜을 2枚의 셀루로오스 아세테이트(CA)膜 사이에

固定시켜, 逆滲透法에 의해 壓力鹽의 種類 및 濃度에 따른 배제율을 調查하여, 폴리아크릴酸에 의한 逆滲透特性과 그의 原因究明 및 選澤透過性에 관하여 考察한다.

2. 實 試

2-1. 膜의 製造

지지체로서 이용된 多孔質膜은 셀루로오스아세테이트膜으로서 그의 製法은 Loeb와 Sourirajan¹²이 行한 方法과 유사하다. 제막 溶液의 組成은 CA (Eastman 398-3), acetone, formamide 및 triacetin 각각 24.7, 44.6, 29.7, 및 1.0 wt%이다. 이러한 溶液을 실온에서 깨끗한 유리판 위에 제막하여 45秒間 용매를 증발시킨 후, 한시간以上 冰水에 침지시켜 두어 热處理 없이 사용하였다.

폴리아크릴산 膜은 PAA(M.W. 500,000 以上, Nihonjunnyaku Co.)를 7wt% 메탄을 溶液으로 조제하여 제막한後, 하루以上 건조시켜 두었다.

以上과 같이 製膜된 것을 Fig. 1에 나타낸 바와 같이 PAA兩側에 CA의 skin side(密層)을 内側으로 떨어, 逆滲透時 PAA가 流出되지 않음을 확인한후 본 實驗에서 사용하였다.

플리아크릴酸 膜의 逆滲透 特性

2-2. 逆滲透 測定

이용된 逆滲透裝置는 batch式으로, 濃度分極을 最少化하기 위하여 교반기의 回轉을 1,000 r.p.m以上으로 하였다. 모든 실험은 溫度 $25^{\circ} \pm 1^{\circ}\text{C}$ 에서의 定常狀態 즉, 所定의 壓力에서의 處過率이一定하게 유지된 후 處過率 및 배제율을 測定하였다. 배제율은 다음과 같은 式으로 計算하였다.

$$R_{obs} = 1 - C_p/C_0$$

여기서 R_{obs} 는 배제율이며, C_0 및 C_p 는 각各供給液(feed solution) 및 透過液(product solution)의濃度이다.

2-3. 플리아크릴酸 膜에 의한 鹽의 排除率

PAA膜에 의한 鹽의 排除率($1 - C_3/C_2$)을 求하기 위하여, Fig. 1에서 보는 바와 같이 먼저 각各의 CA膜에 의한 배제율을 求할 必要가 있다.

CA-1膜을 使用하여 逆滲透를 한 結果, 모든 鹽들은 전혀 배제되지 않았기 때문에 C_1 의濃度, 즉 feed濃度는 C_2 의濃度와 같다고 볼 수 있다.

한편, CA-2膜에 의한 各種 鹽에 대한 排除率은 鹽의種類에 따라 다르기 때문에 各 鹽에 대한 C_3 와 C_4 濃度의 관계를 檢量할 必要가 있다.

Fig. 2는 CA-2膜을 이용할 때의 C_3 와 C_4 濃度의 관계를 나타낸 例이다.

따라서 透過液의濃度 C_p ($\equiv C_4$)를 측정하면, C_3 의濃度는 미리 作成한 檢量線으로부터 용이하게 求할 수가 있으며, PAA膜에 의한 鹽의 排除率 R_A 는 $1 - C_3/C_2$ 로 計算할 수가 있다.

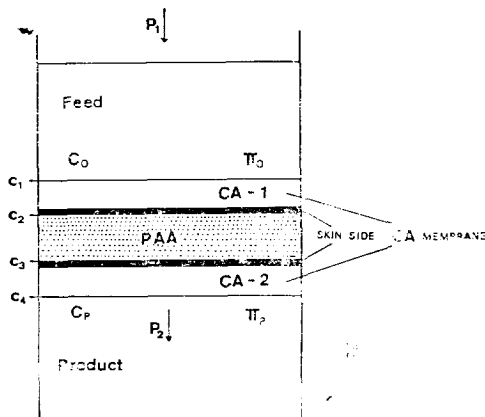


Fig. 1. PAA-CA membrane.

3. 결과 및 고찰

3-1. 各種 鹽에 대한 排除率의 壓力依存性

각종 鹽에 대한 鹽의 배제율을 Fig. 3~7에 나타냈다. 여기서 배제율 R_A 는 PAA膜에 의한 鹽의 배제를 意味하고, 有效壓力 $\Delta p - \Delta \pi$ 는 加해한 壓力에서의 供給液과 處過液의 滲透壓差($\Delta \pi =$

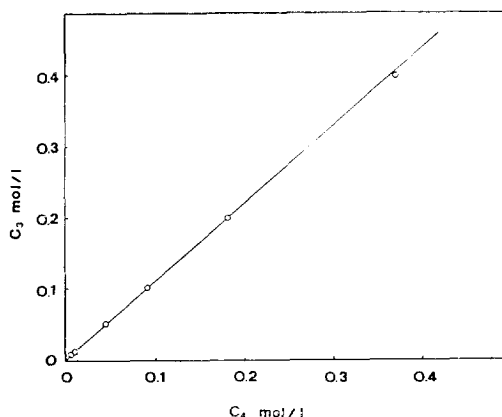


Fig. 2. Relation between C_3 and C_4 for NaCl solutions.

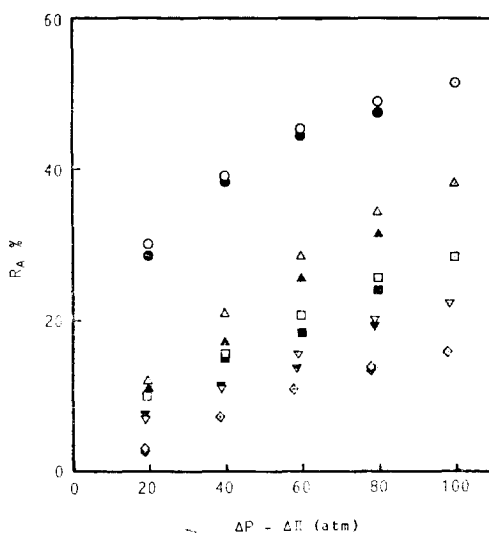


Fig. 3. Rejections by PAA for NaCl solutions.

$\bigcirc : 0.01\text{mol/l}$, $\triangle : 0.05\text{mol/l}$,
 $\square : 0.1\text{mol/l}$, $\nabla : 0.2\text{mol/l}$,
 $\diamond : 0.4\text{mol/l}$,

Solid marks show rejections as descending order of pressure.

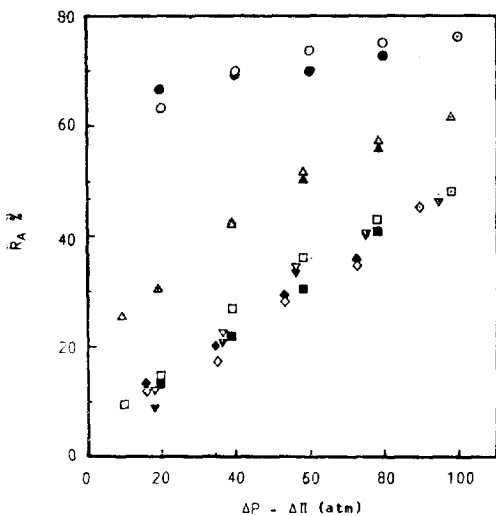


Fig. 4. Rejection by PAA for Na_2SO_4 solutions.
 ○ : 0.01mol/l, △ : 0.05mol/l,
 □ : 0.1mol/l, ▽ : 0.2mol/l,
 ◇ : 0.4mol/l,
 Solid marks show rejections as descending order of pressure.

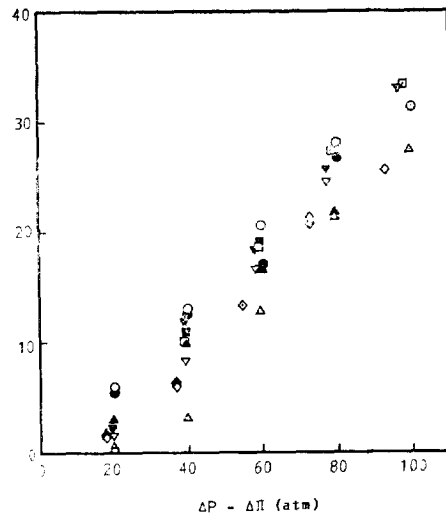


Fig. 6. Rejections by PAA for MgCl_2 solutions.
 ○ : 0.01mol/l, △ : 0.05mol/l,
 □ : 0.1mol/l, ▽ : 0.2mol/l,
 ◇ : 0.4mol/l,
 Solid marks show rejections as descending order of pressure.

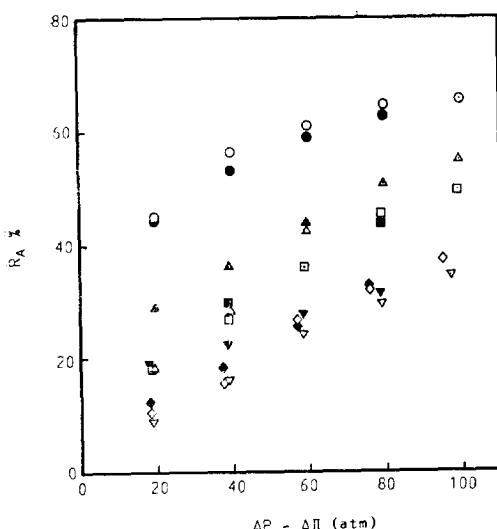


Fig. 5. Rejections by PAA for CaCl_2 solutions.
 ○ : 0.01mol/l, △ : 0.05mol/l,
 □ : 0.1mol/l, ▽ : 0.2mol/l,
 ◇ : 0.4mol/l,
 Solid marks show rejections as descending order of pressure.

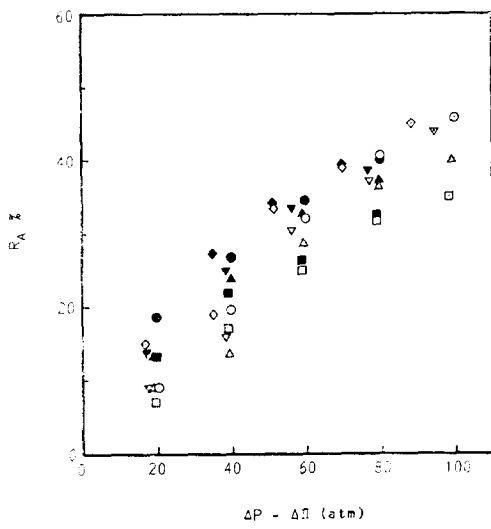


Fig. 7. Rejections by PAA for MgSO_4 solutions.
 ○ : 0.01mol/l, △ : 0.05mol/l,
 □ : 0.1mol/l, ▽ : 0.2mol/l,
 ◇ : 0.4mol/l,
 Solid marks show rejections as descending order of pressure.

폴리아크릴酸 膜의 逆滲透 特性

$\Delta\pi_o - \Delta\pi_p$ 를 減해준 값이다. 壓力의 증가와 더불어 鹽에 대한 배제율이 증가하는 現象을 볼 수 있다. 荷電膜에서의 배제율에 對한 壓力依存性은 주로 壓力에 의한 膜의 pore容積 또는 含水率의 變化에 기인한다고 볼 수 있다. Van Heuren¹³ 등은 膜中의 水分率과 관련지어 壓力의 증가에 따라 膜에 存在하는 固定된 荷電濃度가 증가한다고 報告하였다.

本연구에서 사용한 PAA膜은 水溶性 高分子電解質이므로 壓力에 의한 脱水現象이 현저하다고 볼 수 있다. 따라서 壓力이 증가하면 할수록, 膜의 壓密化(membrane compaction)現象에 의해 膜中에 存在하는 水分率이 감소되어, 結果的으로 荷電密度가 증가되어 鹽에 대한 배제율이 증가한다고 사료된다.

3-2. 배제율 및 투과량의 濃度依存性

Fig. 8~12는 各種 무기염에 대한 농도변화에 따른 배제율 및 투과량을 나타낸 것이다. 여기서 투과량(J , Flux)은 CA와 PAA가 합쳐진 막에서의 투과량을 의미한다. 주어진 壓力에서의 鹽의 배제율 및 투과량은 농도 0.01~0.4mol/l

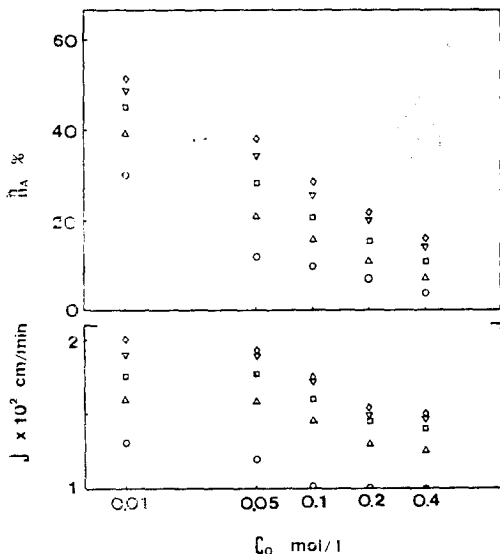


Fig. 8. Concentration dependence of rejection and flux for NaCl .
 ○ : 20atm, △ : 40atm, □ : 60atm,
 ▽ : 80atm, ◇ : 100atm.

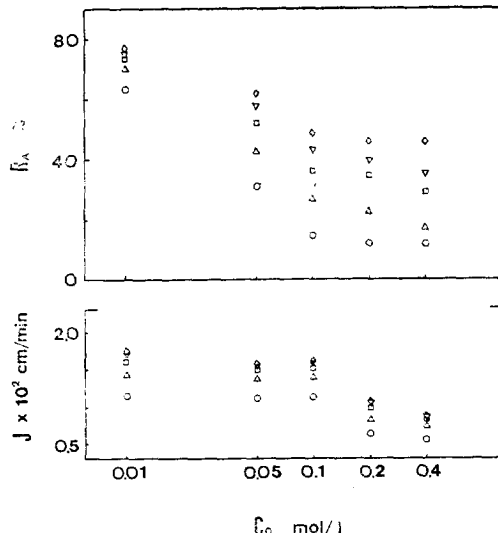


Fig. 9. Concentration dependence of rejection and flux for Na_2SO_4 .
 ○ : 20atm, △ : 40atm, □ : 60atm.
 ▽ : 80atm, ◇ : 100atm.

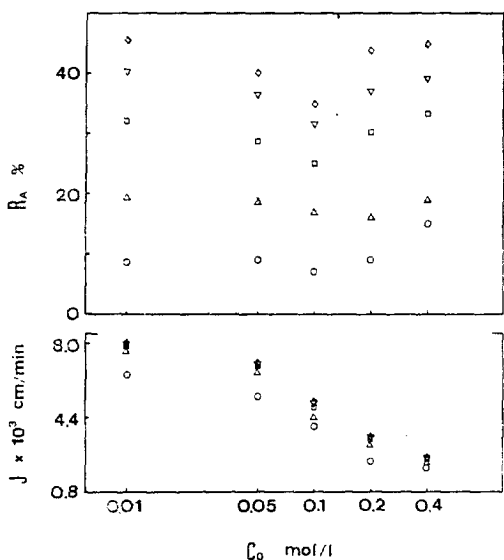


Fig. 10. Concentration dependence of rejection and flux for CaCl_2 .
 ○ : 20atm, △ : 40atm, □ : 60atm,
 ▽ : 80atm, ◇ : 100atm.

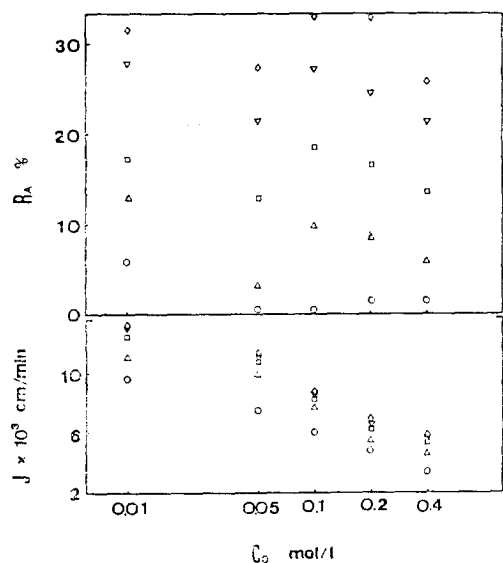


Fig. 11. Concentration dependence of rejection and flux for $MgCl_2$.
 ○ : 20 atm. △ : 40 atm. □ : 60 atm.
 ▽ : 80 atm. ◇ : 100 atm.

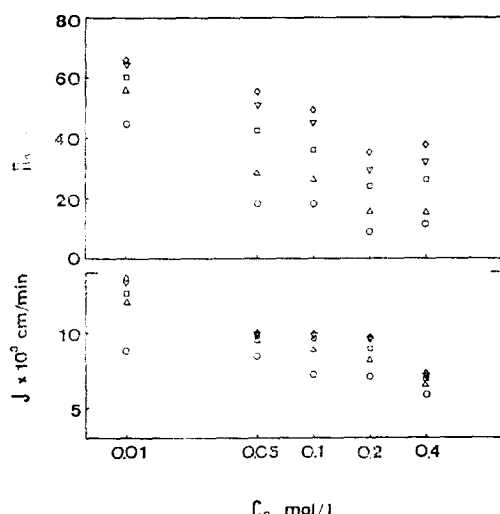


Fig. 12. Concentration dependence of rejection and flux for $MgSO_4$.
 ○ : 20 atm. △ : 40 atm. □ : 60 atm.
 ▽ : 80 atm. ◇ : 100 atm.

범위에서 공급액의 농도가 증가할 수록 감소하는 경향을 보여준다. 이러한 경향은 이온교환막에서 기대되는 이온배제기구(ion-exclusion mech-

anism)와定性的으로一致한다. 이러한 사실은 다음式에 나타낸 多價電解質溶液($B_n^{m+}A_m^{n-}$)에 서의 Donnan 平衡관계로부터 알 수 있다.

$$A_i^m (A_i + X/n)^n = (\gamma_{B_o}/\gamma_{B_i})^n (\gamma_{A_o}/\gamma_{A_i})^m \\ (mC_o)^{m+n} = K(mC_o)^{m+n} \quad (1)$$

$$\text{但 } K \equiv (\gamma_{B_o}/\gamma_{B_i})^n (\gamma_{A_o}/\gamma_{A_i})^m$$

여기서 C_o 는 供給液의 濃度, m,n 은 이온價, γ 는 活動度係數, X 는 膜中에 存在하는 水分容積에 대한 固定된 荷電濃度, A 와 B 및 添字 i 와 o 는 各各 陰이온과 陽이온 및 膜과 溶液相態를 意味한다.

이와같이 공급액의 농도가 낮아지게 되면, 막中에 存在하는 co-ion(A_i)의 농도가 적어지게 되어 결과적으로 배제율이 증가하는 要因이 된다.

또한 투과량은 공급액의 농도가 증가할 수록 감소하는 경향을 보였다. 이러한 현상은 일반적 인 경향으로 농도가 증가함에 따라 膜에서의 溶質分子의 粘性의 증가 및 渗透壓으로 인하여 溶媒 즉, 물을 移動시키는 주진력이 감소가 되기 때문이라 여겨진다.

한편 2:1型電解質에 대한 농도의 존성은 약간의 차이는 있었지만 대체적으로 급격한 變化는 보이지 않았다. 이러한 현상과 유사한 결과가 여러 연구자에 의해서도 관측되곤 하였지만^{8,14}, 이러한 현상은 2價이온과 카르복시基와의 강한相互作用으로 인한結果라 여겨진다. 다시 말하면, 이러한 상호작용은 PAA의 荷電數를 감소시키지만, 카르복시基의 張開 또한 억제시키기 때문에 結果的으로 荷電密度가 증가하는 요인이 된다고 볼 수 있다. 따라서 염의 농도가 증가하면 할 수록, 張開되는 PAA分子가 억제되기 때문에 농도에 따른 배제율의 변화가 그다지 없다고 사료된다.

3-3. 各種 鹽에 대한 배제율의 비교

Fig. 13은 所定의 壓力과 濃度에서 5종류의 鹽에 대한 배제율을 비교한 것이다.一般的으로 2價co-ion인 鹽은 1價co-ion인 鹽 보다 배제율이 높다. 예를 들면, Na_2SO_4 는 $NaCl$ 에 비해 배제되기가 쉽다. 한편, 2:1型電解質인 경우는 1:2型電解質에 比해 낮은 배제율을 나타내고 있다. 이러한 특징은 Donnan說(eq.1 참조)에서도 잘

폴리아크릴酸 膜의 逆滲透 特性

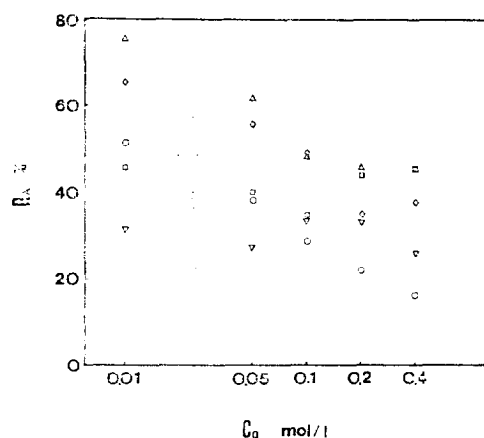


Fig. 13. Comparison of rejections for different salt solutions at 100 atm.

● : NaCl, △ : Na₂SO₄, ■ : CaCl₂, ▽ : MgCl₂, ◇ : MgSO₄.

説明해 주고 있다. 그러나 高濃度에서의 CaCl₂인 경우, 어느 鹽보다 높은 배제율을 보여주고 있다. 이러한 현상은 Ca[#]와 COO⁻간의 강한 상호작용으로 인하여 膜에存在하는水分量이 감소되어 荷電密度가 증가하기 때문에 배제율이 높아졌다고 사료된다.

Wall과 Drenan¹⁵은 알칼리土金屬鹽의 存在下에 polyacrylate鎖의 침전現象에 대하여, 2價陽이온에 의해 架橋 또는 complex를 形成하기 때문에 提案하였다. 또한 Flory와 Osterheld¹⁶는 粘度測定을 한結果, 荷電된 카르복시基와 2價陽이온간의 강한 靜電氣的相互作用으로 인한現象이라 說明하였다.

따라서 鹽의 농도가 증가함으로써 PAA膜中에 있는水分量 또는 pore容積이 감소가 되는 것은 타당하다고 볼 수 있으며, 固定된荷電site(COO⁻)와 2價陽이온간의 강한相互作用은 항상 PAA膜의 脱水現象이 일어나기 때문에 膜中の荷電密度가 높아지는 것은 당연하다고 볼 수 있다. 이러한效果는 2價陽이온인 鹽이 1價陽이온 鹽에 비해 低壓에서 高壓의順으로 测定한 값보다 高壓에서 低壓의順으로 测定한 배제율이 더 높다는 사실을 보아도 이러한 현상을 명확히 뒷받침 해 주고 있다. (Fig. 3~7 참조)

한편, MgCl₂는 CaCl₂에 비해 배제되기 어려

운反面, 투과량은 주어진 壓力 및 농도에서前者가後者보다 더 많은 것을 알 수 있다.週期律配列에 있어서 2價陽이온에 대한水分의水和能은 위로 올라갈수록 더 커지게 되며, 분자량이작은Mg염은Ca염에비해더親水性이크다는사실이알려져있다¹⁷.또한Ikegami등¹⁸은水溶液에서의카르복시基와陽이온과의Complex의水和에관하여, Mg-PAA가 Ca-PAA보다더親水性이강하다는사실을報告하였다. 이러한理由로보아MgCl₂는 CaCl₂에비해투과량은큰反面, 이로인하여荷電密度가감소되어배제율이낮아지게된다고볼수있다.

以上各種鹽의 종류, 농도, 壓力의變化에 따른PAA膜의特性에관하여조사검토한結果,膜의荷電密度의壓力및농도의존성이이러한膜의배제율을決定하는重要한要因이된다는事實을알수있다.

또한이온價의영향으로서SO₄²⁻가다른이온보다배제율이높다는사실로보아, 다이내믹膜을形成하는폴리아크릴산이黃酸이온을함유한排水의처리에應用될수있다는것을시사하고있다.

附記：本 연구는 1982年度 한국과학재단의 후원에 수행된 것으로 심심한 사의를 표한다.

Reference

1. S. Sourirajan, Reverse Osmosis, Academic press, N.Y. (1970).
2. U. Merten, ed., Desalination by Reverse Osmosis, M.I.T. Press, Cambridge, Mass. (1966).
3. O. Kedem and A. Katchalsky, *J. Gen. Physiol.*, 45, 143 (1961).
4. K.S. Spiegler, *Trans. Faraday Soc.*, 54, 1408 (1958).
5. A. Katchalsky and P.F. Curran, Non-equilibrium Thermodynamics in Biophysics, Harvard Univ. Press, Cambridge, Mass. (1965).
6. J. G. McKelvey, K. S. Spiegler and H. R. J.

卓泰文

- Wyllie, *Chem. Eng. Prog. Symp. Ser.*, **55**, 199 (1959).
7. L. Dresner and K. A. Kraus, *J. Phys. Chem.*, **67**, 990 (1963).
8. S. B. Sachs and H. K. Lonsdale, *J. Appl. Polym. Sci.*, **15**, 797 (1971).
9. P. Hoornaert, C. Lefebvre, and A. Van Haute, *Desalination*, **11**, 315 (1972).
10. G. B. Tanny and J. S. Johnson, *J. Appl. Polym. Sci.*, **22**, 289 (1978).
11. S. Antoniou and J. Springer, *Desalination*, **32**, 47 (1980).
12. S. Loeb and S. Sourirajan, *Adv. Chem. Ser.*, **38**, 117 (1963).
13. J. W. Van Heuven and R. K. Bloebaum, *Desalination*, **14**, 229 (1974).
14. Y. Ozari, G. Tanny, and J. Jagur Grodzinski, *J. Appl. Polym. Sci.*, **21**, 555 (1977).
15. F. T. Wall and J. W. Drenan, *J. Polym. Sci.*, **7**, 83 (1951).
16. P. J. Flory and J. E. Osterheld, *J. Phys. Chem.*, **58**, 653 (1954).
17. R. P. Hopkins, *Ind. Eng. Chem.*, **47**, 2258 (1955).
18. A. Ikegami and N. Imai, *J. Polym. Sci.*, **56**, 133 (1962).

Reverse Osmotic Characteristics of Polyacrylic Acid Membrane.

Tae-moon Tak

Dept. of Sericulture, College of Agriculture. Seoul National University.

(Received July 26, 1983; Accepted October 15, 1983)

Abstract: Polyacrylic acid membrane which was sandwiched by cellulose acetate membranes was prepared and tested in reverse osmosis. Salt rejection was found to be a function of pressure, feed concentration, and ionic valence. It is qualitatively in agreement with a Donnan exclusion theory. Rejections of monovalent counter-ion salts increased strongly with decreasing concentration, while those of divalent counter-ion salts are not so sharp against decreasing concentration. Salts of divalent co-ion are more highly rejected than those of monovalent co-ion. It was found that salt rejections were connected with a change of pore volume or water content in membrane caused by pressure, feed concentration, and valence of ions.